



شبیه‌سازی و کنترل امپدانس گیرش یک شیء الستیک کروی بوسیله انگشتان نرم

سید حمید رضا هیدری^۱، برهان بیگزاده^{۲*}، محمد ریاحی^۳

۱- دانشجو کارشناسی ارشد، مهندسی مکانیک، دانشگاه علم و صنعت ایران، تهران

۲- استادیار، مهندسی مکانیک، دانشگاه علم و صنعت ایران، تهران

۳- استاد، مهندسی مکانیک، دانشگاه علم و صنعت ایران، تهران

* تهران، صندوق پستی ۱۶۷۶۵۱۶۳ b_beigzadeh@iust.ac.ir

چکیده

از جمله ویژگی‌های انگشتان انسان نرم بودن نوک انگشتان است که در مسئله‌ی گیرش به ویژه گیرش یک شیء همگن الستیک منجر به برقراری غلتی ناب می‌شود و این به خودی خود گیرشی پایدار را به همراه خواهد داشت. در این راستا این مقاله فرآیند گیرش یک شیء نرم نظیر یک توب کروی همگن الستیک توسط یک جفت انگشتان موازی با نوک نرم نیم‌کره‌ای را مورد بررسی قرار می‌دهد. در این مقاله پس از مدل کردن سیستم و استخراج معادلات سینماتیکی و دینامیکی آن، روش کنترل امپدانس بر پایه‌ی کنترل موقعیت برای کنترل این سیستم در نظر گرفته می‌شود. به منظور پایاده‌سازی کنترلر و اعتبارسنجی آن، مدلی از این سیستم در نرم‌افزار آدامز شبیه‌سازی می‌شود. این نرم‌افزار نیز پس از تعامل با نرم‌افزار سیمولینک به عنوان بخشی از سیستم کنترلی قرار می‌گیرد و مسئله‌ی گیرش بهصورت به هنگام شبیه‌سازی و کنترل می‌شود. نتایج حاصل از پیاده‌سازی نشان از توانایی این کنترلر در ردگیری مناسب انگشتان رباتیکی تا قبل از گیرش و تضمین پایداری گیرش به هنگام گیرش یک توب همگن الستیک دارد.

اطلاعات مقاله

مقاله پژوهشی کامل

دریافت: ۱۶ اسفند ۱۳۹۵

پذیرش: ۰۵ خرداد ۱۳۹۶

ارائه در سایت: ۱۶ تیر ۱۳۹۶

کلید واژگان:

گیرش

انگشتان با نوک نرم

توب همگن الستیک

کنترل امپدانس

پایداری

Simulation and impedance control of the grasping of a spherical, elastic object with soft contact surfaces

Seyed Hamid Reza Heidary, Borhan Beigzadeh*, Mohammad Riahi

Department of Mechanical Engineering, Iran University of Science and Technology, Tehran, Iran
* P.O.B. 16765163, Tehran, Iran, b_beigzadeh@iust.ac.ir

ARTICLE INFORMATION

Original Research Paper

Received 06 March 2017

Accepted 26 May 2017

Available Online 07 July 2017

Keywords:

Grasping, Fingers with soft-tips

Isotropic

Elastic object

Impedance control

Stability

ABSTRACT

Soft-tips in human fingers play a great role in object grasping; especially when talking about isotropic and elastic matters. In other words, stability of a typical grasp is exceedingly dependent on contact conditions. Pure rolling (without slippage) is a kind of contact constraint which is greatly tied with this feature; we have focused on modelling this type of contact in this paper where the problem of grasping an elastic sphere-formed ball by a pair of soft-tip parallel fingers is presented. First, by modeling objects as a mass-spring system, dynamical and kinematical equations of motion are derived. Then, a position-based impedance control is developed. In order to implement and validate the suggested controller, a pair of soft-tip fingers, holding an elastic ball, is simulated in MSC ADAMS. This software begets a control block in the Simulink software as a plant of the control system. Thus, the process of grasping under the effect of controller can be simulated in a real time manner. The result of the simulation shows the ability of controller in appropriate tracking fingers until contact with ball is made. Moreover, the simulation results show the stability of the grasping process.

عمودی می‌باشد [۳-۱]. روش‌های کنترلی متنوعی جهت رسیدن به گیرشی پایدار با در نظر گرفتن قیود غلتی ناب و تماسی صلب-صلب ارائه شده اند

[۵,۴]

از دیگر موارد مطالعه شده در گیرش یک شیء می‌شود به فرض انعطاف‌پذیر بودن دست رباتیک اشاره کرد. نرم بودن دست رباتیک در هنگام تعامل با محیط نه تنها از آسیبهای احتمالی به آن جلوگیری می‌کند بلکه مانع از آسیبهای غیرپیش‌بینی شده به خودش نیز می‌شود. همچنین، در نظر گرفتن دستی رباتیک با نوک انگشتان نرم در رسیدن به گیرشی پایدار بسیار

۱- مقدمه
منیبولیشن^۱ دست رباتیک، تعامل آن با محیط و گیرش^۲ اجسام گوناگون از موضوع‌هایی هستند که در چند دهه‌ی اخیر مورد توجه قرار گرفته‌اند. در اکثر تحقیقات انجام شده، انگشتان رباتیکی و همچنین شیء گیرش شده صلب در نظر گرفته شده‌اند. در چنین تعاملی مدل‌های گوناگون برای نیروی عمودی وارد بر جسم و نیروی اصطکاک بین دو جسم ارائه شده‌اند. در تماسی این مدل‌ها تماس بین دو جسم نقطه‌ای و نیروی اصطکاک تابعی از نیروی

¹ Manipulation

² Grasping

Please cite this article using:

S. H. R. Heidary, B. Beigzadeh, M. Riahi, Simulation and impedance control of the grasping of a spherical, elastic object with soft contact surfaces, *Modares Mechanical Engineering*, Vol. 17, No. 7, pp. 09-19, 2017 (in Persian)

برای ارجاع به این مقاله از عبارت ذیل استفاده نمایید:

www.mme.ac.ir

روش کنترل امپدانس بر پایه‌ی کنترل موقعیت برای بررسی و کنترل مسئله‌ی گیرش استفاده شده است. همچنین، جسم مورد گیرش در این مقاله برخلاف کارهای قبلی که در آن‌ها اجسام دارای سطوح تخت بودند دارای انحناء می‌باشد. استفاده از سطوح تخت به جهت رسیدن آسان گیرش به پایداری و تضمین آن بود. در این مقاله استفاده از توب که یک جسم دارای انحناء است با وجود آن که کار گیرش پایدار و حفظ آن را دشوارتر می‌کند، در مطالعه‌ی فرآیند گیرش اجسام با هندسه‌ی متفاوت موثر و مفید می‌باشد. به این منظور مدلی از گیرش توپی نرم بوسیله‌ی یک جفت انگشتان موازی ارائه شده است که در آن نوک انگشتان نیمکره‌ای و نرم هستند و توسط یک کابل (به عنوان تاندون‌های دست انسان) رانده می‌شوند. این مقاله، نخست به نحوی استخراج معادلات دینامیکی انگشتان رباتیک به هنگام گیرش یک توب نرم می‌پردازد. در گام بعد پس از ارائه روش‌های کنترل نیرو آشکارا و مجازی از روش کنترل امپدانس بر پایه‌ی کنترل موقعیت که یک نوع روش کنترل ترکیبی کنترل نیرو و موقعیت محسوب می‌شود برای کنترل این سیستم استفاده می‌کند. برای بررسی صحت این مطالعه شبیه‌سازی از انگشتان موازی نرم و توب الاستیک در نرمافزار آدامز^۵ ارائه می‌شود. در مرحله‌ی نهایی نیز با طراحی و پیاده سازی کنترل امپدانس در محیط سیمینتیک^۶ و لینک کردن این نرمافزار با نرمافزار آدامز نتایج حاصل از آن ارائه داده شده و مورد تحلیل و بررسی قرار می‌گیرند.

2- سینماتیک دست رباتیک

یک دست رباتیک با انگشتان سه درجه آزادی که نوک هریک از این انگشتان با یک ماده‌ی همگن الاستیک نیمکره‌ای پوشانده شده را در نظر بگیرید. در این دست از کابل غیر الاستیک برای راندن هر یک از انگشتان به وسیله‌ی سرو موتورهای به کار رفته در بازوی دست رباتیک استفاده شده است. به کارگیری کابل به منظور همسایز کردن دست رباتیک با دست یک انسان بالغ و کنترل دست از راه دور می‌باشد. همچنین، از فنرهای پیچشی برای ایجاد امپدانس داخلی و سختی^۷ مفاصل انگشتان رباتیکی استفاده شده است. "شکل 1" تصویری جانبی یک انگشت را نشان می‌دهد که مطابق با آن k_{i1} ، q_{i1} ، k_{i2} ، q_{i2} ، k_{i3} ، q_{i3} و T_i مفاصل مربوط به انگشت i ام و T_i نیروی وارد به کابل در جهت محور Y می‌باشند. می‌خواهیم سینماتیک این انگشتان را در حال گیرش یک توب

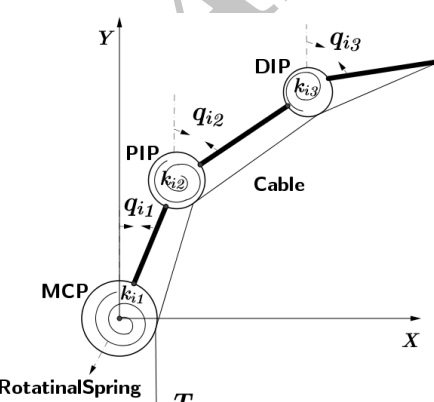


Fig. 1 Lateral view of a finger.

شکل 1 نمای جانبی از یک انگشت

⁵ Adams
⁶ Simulink
⁷ Stiffness

حاائز اهمیت است و منیپولیشن امنی را در جایه‌جایی امن شیء نتیجه می‌دهد. مدل‌هایی سازگار با تئوری پلاستیسیته^۱ برای انگشتان نرم در گیرش یک شیء ارائه شده‌اند [6]. مطالعه‌هایی بر روی حرکت غلتتشی ناب بوسیله‌ی انگشتان نرم در [8,7] انجام شده‌اند. کنترل‌هایی مجزا با در نظر گرفتن قیود غلتتشی ناب برای کنترل نیروهای عمومی و مماسی طراحی شده‌اند [9]. گیرش یک شکل مکعب شکل توسط دو انگشت سه درجه آزادی با انگشتان نرم با در نظر گرفتن نیروی گرانشی و همچنین بدون اثرات آن مطالعه شده و نتایج حاصل از آن معیاری را برای بررسی کیفیت گیرش ارائه داده است [10].

به غیر از دو حالت ممکن در گیرش اشیاء که در پاراگراف‌های اخیر توضیح داده شده‌اند گیرش یک شیء نرم توسط انگشتان صلب یکی دیگر از حالت‌های مهم گیرش می‌باشد. اگرچه تحقیقات بسیار اندکی در این نوع از گیرش صورت گرفته است، با این وجود این نوع گیرش با توجه به نوع تعاملش با اشیاء اعطا‌پذیر می‌تواند کاربرد وسیعی را در حوزه‌های مختلف صنعتی، جراحی و ... داشته باشد. شناسایی سیستم حرکتی یک جسم اعطا‌پذیر با تعداد درجات آزادی بی‌نهایت چالش بزرگی در مطالعه‌ی این نوع گیرش می‌باشد. در [11] مروری بر کارهای صورت گرفته در این زمینه انجام شده است. در مطالعه‌ی رفتار دینامیکی شیء اعطا‌پذیر، مدل‌هایی از سیستم جرم و فنر برای شیء الاستیک در نظر گرفته شده‌اند [12,13]. مدل‌های مبتنی بر جرم و فنر، سیستم‌های سازگار با مدل‌های ریاضی هستند که ساختار دینامیکی آن‌ها به خوبی قابل تشخیص می‌باشند و در مواردی که تعییر شکل زیاد است به طور ویژه در سیستم‌های به هنگام^۲ بسیار مناسب هستند. همچنین، علاوه بر در نظر گرفتن سیستم جرم و فنر برای جسم اعطا‌پذیر، روش‌هایی براساس اجزای محدود^۳ در شناسایی رفتار دینامیکی این سیستم‌ها به کار رفته‌اند [14,15]. این روش‌ها در مقایسه با روش‌های مبتنی بر جرم و فنر دارای دقت بیشتری هستند ولی با توجه به محاسبات پیچیده عددی در شبیه‌سازی‌های به هنگام کاربردی نیستند.

با وجود این که در استخراج معادلات دینامیکی سیستم در نظر گرفتن ویژگی‌های تماس نظری نرم و صلب بودن اجسام بسیار حائز اهمیت هستند و منجر به رسیدن به نتیجه‌ای دقیق‌تر در شبیه‌سازی سیستم می‌گردد، انتخاب روش کنترلی مناسب نیز به همان نسبت برای رسیدن به این هدف موثر است. روش کنترل امپدانس^۴ در میان روش‌های کنترلی به کار رفته در منیپولیشن دست رباتیک و مسئله‌ی گیرش از مرتبه‌ی خاصی برخوردار می‌باشد. از این روش برای کنترل ربات منیپولاتور بر مبنای امپدانس داخلی و خارجی سیستم استفاده شده است [16]. همچنین، کنترل امپدانسی بر روی ربات جوش‌کار با بهره گیری از کنترل موقعیت منیپولاتور طراحی و پیاده‌سازی شده است [17].

در این مقاله برای اولین بار با هدف شبیه‌سازی مسئله‌ی گیرش اشیاء نرم (برای مثال گیرش یک زرد آلو، خمیر یا اسفنج) توسط انگشتانی با نوک نرم، سعی بر مشابه سازی شرایط گیرش درست به مانند گیرش یک شیء نرم توسط دستان انسان شده است. در واقع در تمام مطالعات پیشین هیچ کاری بر روی این نوع گیرش که در آن تماس بین دو جسم نرم-نرم باشد انجام نشده است. به دلیل دینامیک غیرخطی و ناشناخته اجسام نرم کنترل مستقیم گشتاور مفاصل کاری سخت و دشوار می‌باشد. از این در این مقاله از

¹ plasticity theory

² Real time

³ Finite element

⁴ Impedance Control

صورت زیر قابل تعریف می‌باشد [8,7]:

$$\alpha_i = \alpha_i(q_i, \bar{p}) = \tan^{-1}\left(-\frac{y - y_i}{x - x_i}\right) \in \mathbb{R}, \quad (2)$$

در این تعامل که هر دو جسم انعطاف‌پذیر می‌باشند محل تماس انگشت و توب دیگر یک نقطه نیست و شامل دو سطح فرو رفته در هم می‌باشد. به جهت بررسی این موضوع هندسه‌ی توب الاستیک و نوک نرم نیمکره‌ای انگشت به شکل مثلثی¹ مشبندی شده و این تعامل مورد تحلیل و بررسی قرار گرفته است [19]. در واقع در حالت تماس دو سطح الاستیک ممکن است چند سطح مثلثی مشزده شده باهم در تماس قرار گیرند. برای این‌که بهمین مقدار نفوذ این سطوح درهم چقدر است ابتدا باید به دنبال راه تشخیص تماس دو سطح باشیم. فاصله‌ی مراکز انگشت و توب می‌تواند راه حلی برای تشخیص تماس بین این دو جسم باشد که به شکل زیر تعریف می‌شود:

$$h_i = \begin{cases} 0 & h_i < \bar{R} \\ \delta_i & h_i \geq \bar{R} \end{cases}, \quad (3)$$

که در رابطه‌ی فوق h_i فاصله‌ی مراکز دو جسم نرم (فاصله‌ی $C_{OM} = [X_i, Y_i]^T$) و $\bar{R} = r_i + R \in \mathbb{R}$ می‌باشد. از دیگر مشخصه‌های مهمی که در مسئله‌ی گیرش یک شیء بوسیله‌ی انگشتان رباتیک وجود دارد نیروی تماسی عمودی وارد شده دو جسم بر یکدیگر می‌باشد. مدل‌های مختلفی برای این نیرو با توجه به نوع تماس در نظر گرفته شده‌اند [20-22]. هانت² و همکارانش نیروی عمودی وارد شده بر دو

جسم (F_N) را به شکل زیر تعریف کرده‌اند [23]:

$$F_N = K_{contact} \delta^n + B_{contact} \delta^p \delta^q, \quad (4)$$

که در معادله‌ی (4) $K_{contact}$ به ترتیب ضرایب سختی و $\delta^n, \delta^p, \delta^q$ به ترتیب تغییر شکل شعاعی (یا همان مقدار نفوذ) و سرعت نسبی تغییر شکل شعاعی می‌باشند. ضرایب n, p, q قابل تنظیم هستند و در تماس اجسام با جنس متفاوت دارای مقادیر ویژه‌ای می‌باشند. در [23] هانت و همکارانش ضرایب n, p, q را برای برخورد بین دو جسم الاستیک خطی به ترتیب ۱، ۰.۶۶ و ۰.۶۶ در نظر گرفته‌اند.

با فرض غلتش ناب در گیرش شیء نرم توسط انگشتان می‌توان معادله‌ی قیود سینماتیکی را بدست آورد. هنگامی که دو جسم در تماس با یکدیگر قرار می‌گیرند با توجه به هندسه‌ی موجود می‌شود رابطه‌ی سرعت زاویه‌ای لغزشی بین انگشتان ($\dot{\phi}_i$) و شیء ($\dot{\theta}$) را نسبت به مختصات مرجع به

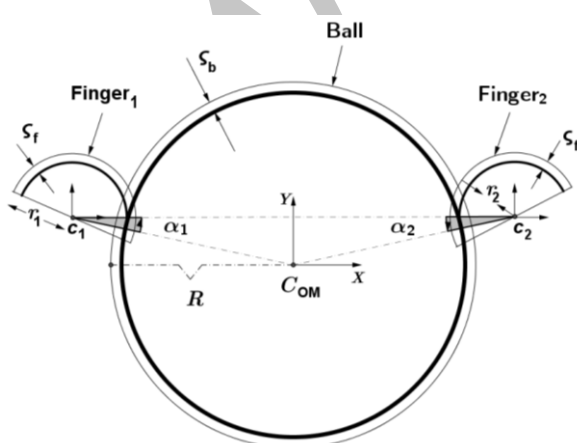


Fig. 3 سینماتیک تماس بین یک جفت انگشت و توب

¹ Triangle Mesh

² K. H. Hunt

³ Damping

تشکیل شده از مواد همسان گرد الاستیک بررسی کنیم. برای ساده‌تر شدن معادلات و حل کردن آن در فضای دو بعدی از دست رباتیکی با یک جفت انگشتان موازی و مشابه استفاده شده است. علاوه بر این طراحی به گونه‌ای است که مرکز توب از صفحه‌ی حرکتی دو انگشت رباتیکی عبور می‌کند و این موضوع باعث مقید کردن حرکت توب در این صفحه در هنگام گیرش خواهد شد. در نتیجه تحلیل در فضای دو بعدی انجام می‌شود.

همان‌طور که در "شکل 2" نشان داده شده است، بردار $[q_{i1}, q_{i2}, q_{i3}]^T \in \mathbb{R}^3$ $i = 1, 2$ برای توصیف حرکت آنان در هر لحظه به ترتیب برای انگشتان راست و چپ نشان می‌دهد. $\varphi_i \in \mathbb{R}$ زاویه‌ی بین بردار نیروی عمودی انگشتان در هر لحظه از گیرش و تصویر آن بر راستای لینک آخر هر انگشت دست می‌باشد. بردار موقعیت مرکز توب الاستیک نسبت به مبدا مرجع نام‌گذاری شده است که در آن $P = [X, Y, \theta]^T \in \mathbb{R}^3$ $\bar{P} = [X, Y]^T \in \mathbb{R}^2$ بیان کننده فاصله‌ی مبدا جسم از مبدا و θ نشان دهنده زاویه مختصات جسم نسبت به مبدا می‌باشد. همانند "شکل 2" $L_{ij} j = 1, 2, 3 i = 1, 2$ بیان کننده طول لینک‌ها می‌باشد که اندیس اول مربوط به شماره‌ی انگشت و اندیس دوم زاویه مفصلی مربوطه را بیان می‌کند. فاصله بین دو انگشت با کمیت L بیان شده است. به ترتیب $R \in \mathbb{R}$ و $r \in \mathbb{R}$ بیان شده است. شاع نمیکرده نوک انگشتان و شاع توب الاستیک می‌باشند. به علاوه، $C_{OM} = [X_i, Y_i]^T$ و $C_i = [X_i, Y_i]^T$ به ترتیب مراکز نوک انگشتان الاستیک و توب می‌باشند. ماکریم تغییر شکل شعاعی نوک انگشت و جسم الاستیک در هنگام تعامل دو جسم نرم با یکدیگر $\delta = \delta_i(\delta_i, \bar{P}) \in \mathbb{R}$ تعریف شده و همان‌طور که در شکل "شکل 3" نشان داده شده از مجموع تغییر شکل توب (δ_B) و تغییر شکل انگشت (δ_{F_i}) به دست می‌آید و می‌توان آن را به صورت زیر تعریف کرد [18]:

$$\delta_i = (\bar{R} + (-1)^i ((x - x_i) \begin{bmatrix} c(\alpha_i) \\ -s(\alpha_i) \end{bmatrix})), \quad (1)$$

در معادله‌ی (1) پارامترهای $\bar{R} = r_i + R \in \mathbb{R}$ و $\alpha_i = \sin(\alpha_i) \in \mathbb{R}$ می‌باشد. $c(\alpha_i) = \cos(\alpha_i) \in \mathbb{R}$ بیان کننده کیفیت گیرش است و به سطح به هنگام گیرش می‌باشد. α_i بیان کننده افق با نیروی عمود بر

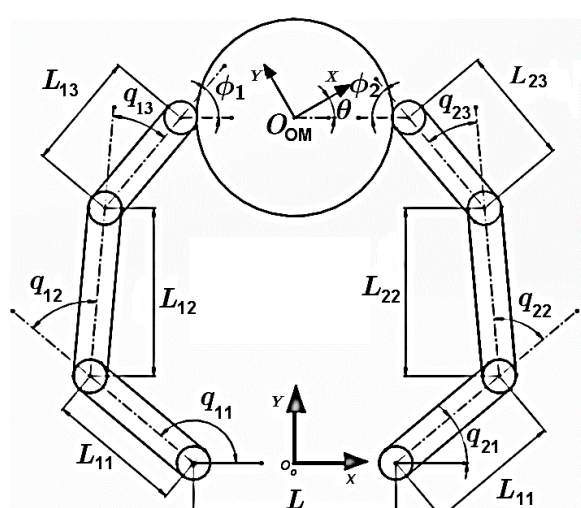


Fig. 2 یک جفت انگشت رباتیکی در حال گیرش توب، O_o مختصات مرجع و ثابت می‌باشد.

دیپینگ این سیستم در بخش سینماتیک برای نیروی عمودی بین دو جسم کروی توضیح داده شده است.

برای استخراج معادلات دینامیکی این سیستم از فرمولاسیون لاغرانژ استفاده می‌شود که تابع لاغرانژین به صورت زیر محاسبه می‌شود:

$$L = K - P, \quad (9)$$

که در معادله (9) K انرژی جنبشی کل سیستم و P انرژی پتانسیل کل می‌باشد. با فرض انجام معادلات در صفحه و فرض نیروی جاذبه در راستای عمود بر این صفحه P مربوط به نیروی جاذبه صفر است و P فقط شامل انرژی پتانسیل کشسانی فنرهای پیچشی مفاصل و انرژی پتانسیل الاستیک حاصل از تعامل نوک انگشت و توب خواهد بود.

انرژی جنبشی $K = K(q, \dot{q}) \in \mathbb{R}$ برابر است با:

$$K(q, \dot{q}) = \sum_{i=1,2}^2 K_i + K_0, \quad (10)$$

که در آن $\dot{q} = [q_1^T \ q_2^T]^T \in \mathbb{R}^6$ و $q = [q_1^T \ q_2^T]^T \in \mathbb{R}^6$ هستند. $K_i = \frac{1}{2} \dot{q}_i^T H_i(q_i) \dot{q}_i \in \mathbb{R}$ هستند. $H_i(q_i) \in \mathbb{R}^{3 \times 3}$ ماتریس مثبت معین اینرسی انگشتان است. در آن $H_i(q_i) \in \mathbb{R}^{3 \times 3}$ ماتریس مثبت معین اینرسی شیء است و $K_0 = \frac{1}{2} \dot{p}^T H_0 \dot{p}$ انرژی جنبشی کره است که در آن کمیت‌های m, I به ترتیب جرم و اینرسی شیء می‌باشند.

انرژی پتانسیل $P(\bar{v}) \in \mathbb{R}$ سیستم برابر است با:

$$P(\bar{v}) = \sum_{i=1}^2 P_{E_i}(\delta_i) + \sum_{i=1}^2 P_{E_i}(q_i), \quad (11)$$

که در آن $P_{E_i}(q_i)$ و $P_{E_i}(\delta_i)$ به ترتیب انرژی الاستیک ذخیره شده در هنگام گیرش شیء بواسیله‌ی انگشتان و انرژی کشسانی فنرهای پیچشی تعیینه شده در مفاصل می‌باشند و از روابط زیر قابل تعریف هستند.

• انرژی پتانسیل نوک انگشتان و شیء

$$[P_E(\delta)]_0^t = \int_0^t F_N(\delta) \frac{d}{dt} \delta dt = P_E(\delta) - p_{E_0}, \quad (12)$$

که در آن $p_{E_0} = p_E(\delta_i(q_i(0), \bar{p}(0)))$ انرژی کشسانی اولیه هنگام نفوذ می‌باشد.

• انرژی کشسانی فنرهای پیچشی

$$P_{E_i}(q_i) = \frac{1}{2} k_1 q_1^2 + \frac{1}{2} k_2 (q_2 - q_1)^2 + \frac{1}{2} k_3 (q_3 - q_2)^2, \quad (13)$$

که در رابط فوق کمیت‌های k, q, \bar{p} به ترتیب سختی فنر و زاویه مفاصل انگشتان می‌باشند و فنرهای پیچشی خطی فرض شده‌اند.

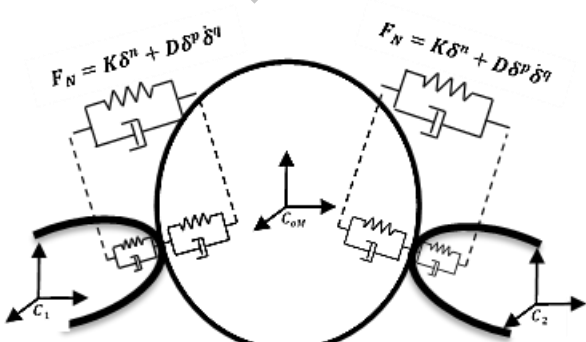


Fig. 5 سرانگشتان نرم و توب نرم به شکل یک سیستم فنر و دمپر مطابق با

شکل 5 سرانگشتان نرم و توب نرم به شکل یک سیستم فنر و دمپر مطابق با مدل‌های غیرخطی هات و ویجت مدل شده‌اند.

صورت زیر بیان کرد [24]:

$$(-1)^i R \dot{\theta} = -r_i \dot{\varphi}_i, \quad (5)$$

معادله (5) را می‌شود به صورت زیر نوشت:

$$\dot{\vartheta}_{r_i} = (-1)^i R \frac{d\theta}{dt} + r_i \frac{d\varphi_i}{dt} = 0 \quad (i = 1, 2), \quad (6)$$

به طوری که در معادله (6) پارامترهای r_i ثابت انتگرال پذیر است و $e_i = [1 \ 1]^T \in \mathbb{R}^3$ و $\varphi_i = \varphi_i(q_i, \bar{p}) = \pi - (-1)^i \alpha - q_i^T e_i \in \mathbb{R}$ برای $i = 1, 2$ است. در [25] نشان داده شده ترم $\dot{\vartheta}_{r_i}$ انتگرال گرفتن به صورت زیر بدست می‌آورد:

$$\dot{\vartheta}_{r_i} = (-1)^i R \theta + r_i \varphi + c_i = 0, \quad (7)$$

که در معادله فوق $c_i \in \mathbb{R}$ ثابت انتگرال می‌باشد.

هر کدام از انگشتان این دست رباتیک و جسم گیرش شده با فرض حرکت در صفحه دارای سه درجه آزادی هستند. چهار نیروی قیدی عمودی و مماسی نیز در محل تماس انگشت دست رباتیک با شیء وجود دارد. پس در مجموع سیزده متغیر داریم که با چهار معادله قیدی غلتش ناب و نه معادله استخراج شده از انگشتان و توب الاستیک باستی حل بشوند.

-3- دینامیک دست رباتیک

استخراج معادلات دینامیکی انگشتان رباتیک با نوک انگشتان انعطاف‌پذیر و شیء الاستیک در حالت کلی به دلیل درجات آزادی بی‌نهایت پیچیده خواهد بود، ولی با برخی از ساده‌سازی‌ها می‌شود این معادلات را استخراج نمود. در حالت کلی فرمولاسیون لاغرانژین یک شیء انعطاف‌پذیر به صورت زیر قابل تعریف است [26]:

$$m \frac{d^2 p(\varphi_{ijk}, t)}{dt^2} + \mu \frac{dp(\varphi_{ijk}, t)}{dt} + \frac{\partial E}{\partial p(\varphi_{ijk}, t)} = f_p(t), \quad (8)$$

که در معادله فوق $p(\varphi_{ijk}, t)$ موقعیت ذره φ_{ijk} در لحظه t جرم m و $f_p(t)$ نیروی الاستیک اجسام (انرژی پتانسیل کشسانی اجسام) و μ ضریب دیپینگ، E انرژی الاستیک اجسام (انرژی هر ذره)، $\partial E / \partial p(\varphi_{ijk}, t)$ نیروی وارد شده به هر ذره در لحظه t می‌باشد. در نظر گرفتن این فرمولاسیون لاغرانژین دینامیکی برای اجسام می‌باشد. در کنار فرمولاسیون لاغرانژین اجسام صلب سیستم نیازمند حل‌های عددی پیچیده می‌باشند. از دیگر روش‌هایی که برای جایه جایی‌های بسیار بزرگ هم خوب عمل می‌کند در نظر گرفتن سیستم فنر و دمپر به صورت موادی برای تغییر شکل الاستیک و همچنین سیستم فنر و دمپر به صورت سری برای تغییر شکل پلاستیک می‌باشند که به ترتیب توسط آقایان ویجت و مکسول در "شکل 4" نشاند داده شده‌اند [27]. بنابراین، مطابق با "شکل 5" تغییر شکل سر نرم انگشتان و توب الاستیک را می‌توان تحت سیستم فنر و دمپر موازی مدل کرد. در نتیجه در هنگام تماس دو شیء دو سیستم مدل شده بر مبنای فنر و دمپر موازی با هم ادغام شده و سیستم فنر و دمپر جدیدی را تشکیل می‌دهند که روابط بین سختی فنر و ضریب

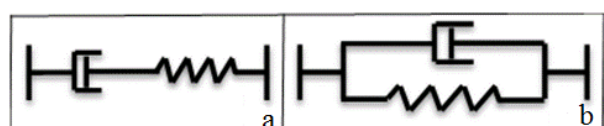


Fig. 4 a) Voigt model for Elastic deformation, b) Maxwell model for plastic deformation

شکل 4 الف) مدل ویجت¹ برای تغییر شکل الاستیک ب) مدل مکسول² برای تغییر شکل پلاستیک

¹ Voigt

² Maxwell

$$\tau_m = \frac{\pi \theta a}{180} F, \quad (22)$$

که در معادله (22) θ زاویه‌ی سرو موتور (معمولًا بین صفر تا 180 درجه، a شعاع روتور موتور با فرض متصل بودن کابل پرروی محیط آن و F نیروی کابل می‌باشد. با جای‌گذاری معادله (22) در معادله (21) و محاسبه‌ی $\partial h(\theta)/\partial \theta$ داریم:

$$\tau_i = \begin{bmatrix} r_1 \\ r_2 \\ r_3 \end{bmatrix} \frac{180 \tau_m}{\pi \theta a} \quad (23)$$

در معادله (23) r_1 , r_2 و r_3 شعاع‌های پولی‌های انگشت می‌باشند و بقیه پارامترها به مانند معادله (22) تعریف خواهد شد.

همان‌طور که در بخش سینماتیک اشاره شد در کل 13 معادله و 13 معجهول به دست می‌آید و به همین دلیل تمام پارامترها قابل محاسبه است.

4- سیستم کنترلی دست رباتیک

قبل از بحث راجع به کنترلر پیشنهادی در این مقاله هدف آن است که در مورد یک روش کنترلی صحبت شود. همان‌گونه که در ابتدای مقاله ذکر شد، یکی از روش‌های پر کاربرد به ویژه در صنعت برای کنترل پنجه‌ی رباتیک روش کنترل امپدانس می‌باشد که در ادامه به اجمال در مورد این سیستم کنترلی توضیح مختصری خواهیم داد. در این صورت می‌توان به نوآوری این مقاله در اعمال کنترلر طراحی شده بر سیستم موجود پی‌برد.

به طور کلی روش‌های کنترل نیرو را می‌شود به دو دسته‌ی کنترل نیروی آشکارا¹ و کنترل نیروی مجازی² تقسیم‌بندی کرد. در روش کنترل نیروی آشکارا از اختلاف بین نیروی تماسی یا گشتاور ایجاد شده در تعامل پنجه‌ی رباتیک با محیط و مقدار مطلوب نیرو سیگنالی به کنترلر نیرویی فرستاده می‌شود. این سیگنال به جهت رسیدن به مقدار نیرو مورد نظر گیرش مسیری مطلوب را برای ربات تولید می‌کند. "شکل 7" نشان دهنده نمونه‌ی ساده‌ای از این روش کنترلی می‌باشد. دسترسی کامل به دینامیک ربات به ویژه در کاربردهای عملی محدود نیست از این رو کنترل مستقیم گشتاور اعمال شده بر مفاصل انگشتان کاری دشوار می‌باشد و این به معنی مناسب نبودن استفاده از روش کنترل آشکارا در چنین ربات‌هایی است. در روش کنترل نیروی مجازی مقدار نیروی مطلوب به طور مستقیم به مانند روش کنترل آشکارا محاسبه نمی‌شود. در حقیقت در این روش با استفاده از نیروهای اندازه‌گیری شده‌ی حاصل از تعامل ربات با محیط یک سیستم فنر و دمپر خطی و یا غیرخطی برای این نیروها در نظر گرفته می‌شود و به جای کنترل مستقیم نیرو، موقعیت و یا سرعت ربات کنترل خواهد شد. این روش خود نیز به چند دسته کنترل سختی، کنترل دمپیگ و کنترل امپدانس تقسیم‌بندی می‌شود که تشریح کامل آن‌ها در [29] انجام شده است. در "شکل 8" کنترل امپدانس از روش‌های کنترل نیرو مجازی نشان داده شده است. از آن جایی که

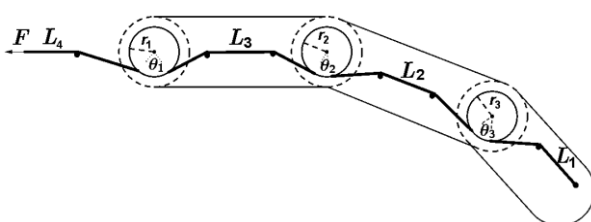


Fig. 6 cable and pulley system for driven fingers

شکل 6 سیستم کابل و پولی برای انگشتان رانده شده

¹ explicit force control

² implicit force control

انرژی نیروهای قیدی که کار انجام شده توسط آنان صفر است (مانند نیروهای مماسی در لحظه تماس دو شیء) برابر است با:

$$S_T = \sum_{i=1,2}^2 \varphi_{r_i}(q_i, p) \lambda_i = \varphi_r^T \lambda, \quad (14)$$

که در معادله بالا $\lambda = [\lambda_1 \ \lambda_2]^T \in \mathbb{R}^2$ ضرایب معادله لگرانژ و $\varphi_r^T = [\varphi_{r_1} \ \varphi_{r_2}]^T = 0$ خواهد بود.

با این تعاریف معادلات لگرانژین به صورت زیر خواهد بود:

$$\frac{d}{dt} \left[\frac{\partial}{\partial \dot{v}} L \right] - \frac{\partial}{\partial v} L - \frac{\partial}{\partial v} \varphi_r^T \lambda = u, \quad (15)$$

که در معادله فوق u بردار گشتاور ورودی به سیستم می‌باشد.

معادلات کلی سیستم به شکل زیر خواهد شد:

• معادلات انگشتان رباتیکی

$$\begin{aligned} H_i(q_i) \ddot{q}_i + C_i(q_i, \dot{q}_i) \dot{q}_i + B_i(q_i) \\ = \tau_i + (-1)^i F_{Nj_i}^T(q_i) \begin{bmatrix} c(\alpha_i) \\ -s(\alpha_i) \end{bmatrix} \\ + r_i \left(J_i^T(q_i) D_i^{-1} \begin{bmatrix} s(\alpha_i) \\ c(\alpha_i) \end{bmatrix} - e_i \right) \lambda_i, \end{aligned} \quad (16)$$

که در معادله (16) $C_i(q_i, \dot{q}_i)$ و $H_i(q_i)$ به ترتیب ترم‌های اینرسی، کوریولیس و کشناسی مربوط به فنرهای پیچشی می‌باشند. ترم دوم سمت راست معادله بیان کننده گشتاور تولیدی توسط نیروهای عمودی و ترم‌های سوم سمت راست معادله بیان کننده گشتاور تولیدی نیروهای تماسی می‌باشند.

• معادلات شیء همگن الاستیک

$$\begin{aligned} H_0 \ddot{p} - \sum_{i=1,2}^2 (-1)^i F_N \begin{bmatrix} c(\alpha_i) \\ -s(\alpha_i) \\ 0 \end{bmatrix} \\ = \sum_{i=1,2}^2 ((-1)^i R \begin{bmatrix} 0 \\ 0 \\ 1 \end{bmatrix} - r_i D_i^{-1} \begin{bmatrix} s(\alpha_i) \\ c(\alpha_i) \\ 0 \end{bmatrix}) \lambda_i, \end{aligned} \quad (17)$$

که در آن α_i در محدوده زیر تعریف می‌شود.

$$-\frac{\pi}{2} \leq \alpha_i \leq \frac{\pi}{2} \quad (18)$$

در معادله (17) D_i فاصله‌ی مرکز نیمکرهای انگشت i ام تا مرکز توب در لحظه‌ی گیرش می‌باشد و از روابط زیر قابل تعریف است:

$$\begin{aligned} \cos(\alpha_i) &= -(-1)^i \frac{x - x_i}{D_i}, \\ \sin(\alpha_i) &= -(-1)^i \frac{y - y_i}{D_i}, \end{aligned} \quad (19)$$

در معادله (17) چون هر انگشت دست رباتیک توسط یک سرو موتور و کابل رانده می‌شود گشتاور ورودی به انگشت (τ_i) باید به نوعی به گشتاور موتور (τ_m) مربوط شود. در ادامه به توضیح چنین رابطه‌ای پرداخته شده است. طول کابل همان‌طور که در "شکل 6" نشان داده شده برابر است با:

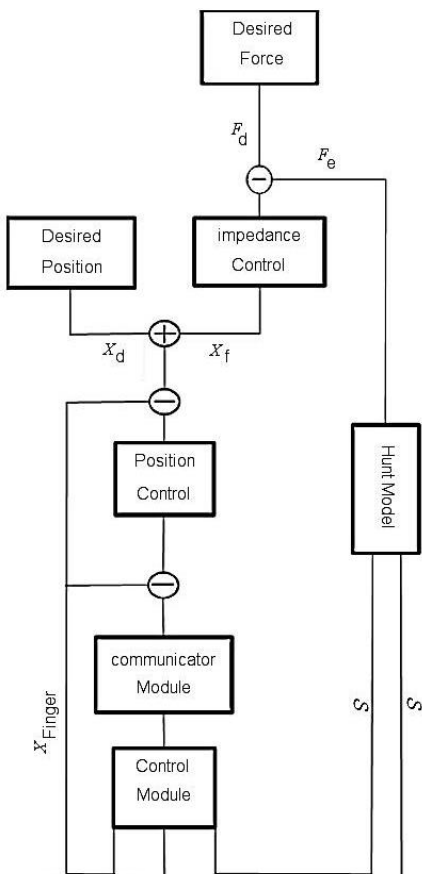
$$h(\theta) = \sum_{i=1}^4 l_i + \sum_{i=1}^3 r_i q_i, \quad (20)$$

که در آن $h(\theta)$ طول کابل، l_i فواصل کشش ثابت و q_i شعاع پولی‌های مفصل‌های می‌باشند. به دلیل برابری کار انجام شده توسط جابه‌جایی کابل‌ها و گشتاور ورودی انگشتان با صرف نظر از نیروهای اتلافی داریم [28,20]:

$$\tau_i = \frac{\partial h(\theta)}{\partial \theta} F, \quad (21)$$

در معادله (21) F نیروی کابل و $\partial h(\theta)/\partial \theta$ نرخ جابه‌جایی کابل می‌باشد. با استفاده از یک سرو موتور برای راندن کابل رابطه‌ی گشتاور موتور

τ_m نیروی کابل F برابر است با:



شکل 9 دیاگرام سیستم کنترلی در سیمولینک

شکل 9 دیاگرام سیستم کنترلی در فضای دکارتی می‌باشد.

دینامیکی انگشتان در فضای دکارتی برابر است با:

$$\tau_i = \epsilon(m_i \ddot{x}_i + b_i \dot{x}_i + k_i x_i) \quad (i=1,2), \quad (24)$$

که در معادله (24) گشتاور اعمال شده بوسیله موتور به انگشت i ، جرم معادل انگشت i ، ضریب b_i ، ضریب اسکاک ویسکوز یا ضریب دمپینگ انگشت i ، ضریب اصطکاک الاستیک انگشت i و ضریب تبدیل از فضای مفصلی به فضای دکارتی می‌باشد.

در این مقاله با فرض این که موتور بتواند تمام نیازهای کنترلی را برآورده سازد و تمامی شرایط اولیه برای این سیستم صفر در نظر گرفته شود،تابع تبدیل برای این سیستم برابر است با:

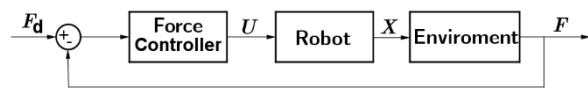
$$G_i(s) = \frac{1}{\epsilon(m_i s^2 + b_i s + k_i)} \quad (i=1,2), \quad (25)$$

که در معادله (25) $G_i(s)$ تابع تبدیل برای انگشت i ام می‌باشد. سایر ضرایب در معادله (25) به مانند معادله (24) تعریف می‌شوند. با نادیده گرفتن اثرات حاصل از گیرش ضربه‌ای و در نظر گرفتن گیرش شبه استاتیک¹ می‌شود از نقش ترمها مربوط به شتاب و سرعت شیء در مقابل ترم‌های مربوط به موقعیت شیء در مسئله‌ی تغییر شکل شیء صرف نظر کرد. با این فرض مدل مکانیکی شیء تحت تاثیر نیروهای گیرشی را می‌شود به صورت زیر تشریح کرد:

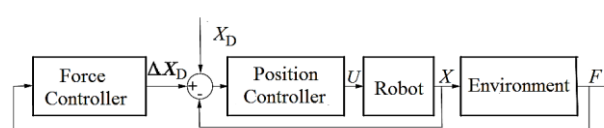
$$-f_i(k) \approx -f_r(k) + k_0^* e_i(k), \quad (26)$$

$$e_i(k) = x_{ir}(k) - x_r(k), \quad (27)$$

به طوری که در معادله (26) k_0 ماتریس سختی شیء، $f_d(k)$ مقدار نیروی مرجع و $f_i(k)$ مقدار نیروی واقعی وارد شده از طرف انگشت بر روی شیء می‌باشد. در معادله (26) وقتی در مرتبه k نمونه برداری



شکل 7 دیاگرام عمومی کنترل نیرو آشکارا



شکل 8 دیاگرام عمومی کنترل نیرو مجازی

نوآوری و هدف این مقاله کنترل و شبیه‌سازی تعامل بین دو جسم نرم می‌باشد و نرم بودن اجسام دلیلی بر دینامیک غیر خطی ناشناخته‌ی آن‌ها در واقعیت است، به جای کنترل مستقیم گشتاور که در روش کنترل نیروی آشکارا کاربردی است در این مقاله از یک سیستم ترکیبی کنترل نیرو و موقعیت استفاده شده است.

از جمله نوآوری‌های دیگر این سیستم آن است که فیدبک گرفتن نیرو توسط هیچ سنسور نیرویی نمی‌باشد و این نیرو با استفاده از روابط گفته شده و فیدبک گرفتن از مقدار نفوذ و سرعت نسبی نفوذ دو جسم در یکدیگر تخمین زده می‌شود و کنترل غیرمسقیم نیرو توسط کنترلر امپدانس پایداری استاتیکی سیستم را ضمانت می‌کند. در حقیقت این مقاله با استفاده از روش ترکیبی توانسته است تنها با فیدبک گرفتن از موقعیت و سرعت انگشتان و شیء که هر دو نرم هستند و همچنین تنها با کنترل موقعیت سیستم مقدار نیروی گیرش را در یک مقدار نزدیک به مقدار مطلوب نگه دارد. در "شکل 9" سیستم کنترلی ترکیبی کنترل نیرو و موقعیت نشان داده شده است. در این کنترلر نیازی به فیدبک گرفتن نیرو و هیچ سنسور نیرویی نمی‌باشد و این نیرو با استفاده از روابط گفته شده و فیدبک گرفتن از مقدار نفوذ و سرعت نسبی نفوذ دو جسم در یکدیگر تخمین زده می‌شود و کنترل غیرمسقیم نیرو توسط کنترلر امپدانس پایداری استاتیکی سیستم را ضمانت می‌کند. همان‌طور که در "شکل 9" نشان داده شده است سیستم کنترلی شامل مژول کنترلی، کنترلر امپدانس، کنترلر PID برای کنترل موقعیت نوک انگشتان و همچنین مژول ارتباط دهنده مقدار جایه‌جایی نوک انگشت نسبت به موقعیت سرو موتور می‌باشد. ورودی سیستم امپدانسی اختلاف نیروی مطلوب F_d و همچنین نیروی تخمین زده شده از لحظه‌ی تماس بین دو جسم F_e می‌باشد. خروجی این سیستم هم به عنوان یک متغیر جایه‌جایی X_f می‌باشد. کنترلر موقعیت سیستم امپدانس و مقدار مطلوب است می‌باشد. مجموع مقادیر X_d و X_f سیگنالی تولید می‌کند که اختلاف این سیگنال و مقدار فیدبک گرفته شده از موقعیت شیء سیگنال خطا برای ورودی کنترلر PID است. خروجی کنترلر موقعیت پس از کم شدن از مقدار مطلوب سرو موتور توسط تابع مقادیر را به عنوان ورودی برای تولید زاویه‌ی مطلوب سرو موتور در ارتباط دهنده در هر لحظه محاسبه می‌کند. مژول کنترلر که توسط نرم‌افزار آدامز ساخته می‌شود، در واقع ارتباط دهنده بین دو نرم‌افزار سیمیلینک مطلب و آدامز می‌باشد. در حقیقت پس از شبیه‌سازی‌های حاصله در نرم‌افزار آدامز، مژول ساخته شده توسط این نرم‌افزار همان سیستم کنترل در محیط سیمیلینک به حساب می‌آید که باید با اعمال روش کنترلی و کنترلر مناسب بر روی آن کنترل شود. هر یک از انگشتان دست که به طور موازی و مشابه طراحی شده‌اند توسط یک سرو موتور به طور مجزا رانده می‌شوند. رابطه‌ی

¹ quasi-static

ورودی به کنترلر و از معادله زیر بدست خواهد آمد:

$$err_i = X_{id}(k) - X_{OBJ} \quad (i = 1,2), \quad (33)$$

که در معادله (33) $X_{id}(k)$ و X_{OBJ} به ترتیب موقعیت باز یابنده و اطلاعات موقعیت تغییر شکل شیء می‌باشد.

5- شبیه‌سازی دست رباتیک

پس از طراحی سیستم انگشتان در نرم‌افزار سالیدور کز⁴ برای شبیه‌سازی دینامیکی باید این سیستم طراحی شده را وارد نرم‌افزار آدامز کرد. از آنجایی که هدف این مقاله مطالعه بر روی گیرشی است که از تعامل دو جسم نرم بدست آمده است و امکان طراحی اجزای انعطاف‌پذیر در نرم‌افزار سالیدور کز وجود ندارد برای ایجاد اجزاء نرم باید از قسمت انعطاف‌پذیر نرم‌افزار آدامز و یا از دیگر نرم‌افزارهای اجزاء محدود نظیر نرم‌افزار کامسول⁵ استفاده شود. پس از وارد کردن تمامی اجزای سیستم به نرم‌افزار آدامز و مونتاژ کردن آن‌ها، سیستم انگشتان و توب برای کنترل و شبیه‌سازی این نوع گیرش مهیا قرار می‌گیرند. با اعمال روش کنترل امپدانس که در بخش پیش توضیح داده شد در نرم‌افزار سیمیلینک و لینک کردن این نرم‌افزار با نرم‌افزار آدامز ما توانستیم مسئله تعامل دو جسم نرم در حال گیرش را به صورت به هنگام شبیه‌سازی و کنترل کنیم. در زیر در مورد مقادیر به کار رفته و نتایج حاصل از آن بحث خواهد شد. به منظور انعطاف‌پذیر در نظر گرفتن نوک انگشتان و همچنین توپ، توپی به شعاع 30 میلی‌متر با پوسته‌ای به ضخامت 10 میلی‌متر دارای 1374 گره و همچنین یک نیم‌کره با فرض نیمکره‌ای بودن نوک انگشتان با شعاع 7.6 میلی‌متر با پوسته‌ای به شعاع 2 میلی‌متر دارای 356 گره به روش متشی در نرم‌افزار آدامز مش‌بندی شد. همان‌طور که می‌دانیم مش‌بندی یکی از تکیک‌های اجزاء محدود است و عواملی زیادی را برای آن باید در نظر گرفت. نوع اجزاء (صلب یا پوسته)، شکل اجزاء (چندوجهی و ...)، شکل لبه‌ها (منحنی، مستقیم و مخلوط)، نرخ رشد، جنس اجزاء و پارامترهای دیگر از جمله این عوامل هستند و انتخاب هرچه دقیق‌تر آن‌ها منجر به رسیدن به نتیجه‌ای نزدیک به واقعیت خواهد شد. در جدول [1] لیستی از پارامترهای انتخاب شده برای مش‌بندی توپ و در جدول [2] لیستی از آن‌ها برای نوک انگشتان ارائه شده است.

به منظور شبیه‌سازی امپدانس داخلی دست از یک سیستم کابل غیرالاستیک متصل به نوک انگشتان و فرنهای پیچشی به سختی 100 نیوتون

جدول 1 پارامترهای مش‌بندی شیء

واحد	مقادیر ثابت	پارامترهای فیزیکی
-	پوسته	نوع اجزاء
-	مثلثی	شکل اجزاء
-	درجه دوم	رسانه اجزاء
-	مخلوط	شكل لبه‌ها
mm	23	سایز اجزاء
mm	5	حداقل سایز اجزاء
-	1.5	نرخ رشد
mm	2	ضخامت پوسته
degree	45	زاویه هر جزء
gr/cm ²	1.127	چگالی جسم
-	0.29	ضریب پوآسون
MPa	0.0044	مدول الاستیسیته

⁴ SolidWorks

⁵ Comsol

(k) = 0 شد مقدار نیروی واقعی و مرجع برابر شده است و مطلوب کنترلی حاصل خواهد شد. مطابق با معادله (27) بیان کننده $e_i(k)$ تغییر شکل شیء در جهت x می‌باشد. در معادله (27) x_{ir} و x_d به ترتیب موقعیت باز یابنده و موقعیت واقعی شیء می‌باشند.

مفهوم کنترل امپدانس در واقع بین منظور تلقی می‌شود که به جای نیرو تعاملی وارد شده از طرف محیط به ریات یک سیستم فنر و دمپر برای آن نیرو در نظر گرفته شود که این رابطه همان معادله امپدانسی سیستم است [32-30]. در این مقاله معادله امپدانسی سیستم خطی و به صورت زیر در نظر گرفته شده است:

$$M_d(\ddot{X}_i - \ddot{X}_d) + B_d(\dot{X}_i - \dot{X}_d) + K_d(X_i - X_d) = F_d - F_e, \quad (28)$$

که F_d, F_e به ترتیب نیروی تماсی و مقدار مطلوب نیرو می‌باشند. در معادله (28) \dot{X}_i, \ddot{X}_i و \dot{X}_d, \ddot{X}_d به ترتیب موقعیت، سرعت و شتاب واقعی نوک انگشتان و X_d, \dot{X}_d به ترتیب موقعیت، سرعت و شتاب مطلوب می‌باشند. تابع تبدیل این سیستم امپدانسی برابر است با:

$$X_f(s) = \frac{F_d(s) - F_e(s)}{M_d s^2 + B_d s + K_d} \quad (i = 1,2), \quad (29)$$

که در معادله (29) $X_f(s)$ اصلاح کننده موقعیت برای نگه داشتن نیروی گیرش در مقدار مطلوب می‌باشد. چون M_d, B_d و K_d اعداد حقیقی هستند می‌توان معادله امپدانسی رو فیلتر پایین گذار رسته دو فرض نمود که در آن تمامی این پارامترها متغیر با زمان و قابل تنظیم هستند. انتخاب M_d بزرگ باعث برخورد شدید با محیط، انتخاب B_d بزرگ دلیلی بر داشتن سیستمی بدون ارتعاش با پاسخ زمانی طولانی و انتخاب K_d بزرگ منجر به ردگیری بهتر می‌شود. بهتر است این پارامترها به گونه‌ای طراحی شوند که سیستم در حالت میرایی بحرانی¹ یا فوق میرایی² قرار گیرد [33].

در طراحی سیستم کنترلی در نظر گرفته شده در این مقاله فیدبک گرفتن از موقعیت شیء به منظور استفاده از یک بازیابنده موقعیت³ است که عموماً در سیستم به هنگام که نیاز به ورودی کنترلی دقیق دارند در نظر گرفته می‌شود.

دستور موقعیت بازیابنده (X_{id}) شامل موقعیت مرتع انگشتان، موقعیت می‌باشد. X_{id} به صورت زیر تعریف می‌شود [33].

$$X_{id}(k) = X_{ir}(k) + X_f(s)(k) \quad (i = 1,2), \quad (30)$$

که در معادله (30) $X_{id}(k)$ بازیابنده موقعیت انگشت i، ام، $X_{ir}(k)$ مقدار موقعیت مرتع، $X_f(s)$ مقدار موقعیت خروجی سیستم امپدانس و k شماره نمونه برداری سیستم کنترلی می‌باشد.

در حالی که انگشتان شیء را در مکان موردنظر گیرش کنند مقدار $X_f(s)$ صفر خواهد بود و در نتیجه داریم:

$$X_{id}(k) = X_{ir}(k) \quad (i = 1,2), \quad (31)$$

همان‌طور که در پیش گفته شد برای کنترل موقعیت در حلقه داخلی سیستم کنترلی از کنترل PID که رایج ترین کنترلر در صنعت است استفاده کردیم و قانون کنترلی آن به صورت زیر بیان می‌شود:

$$\tau_i(k) = k_{iD} err_i(k) + k_{iP} err_i + k_{iI} \int err_i dt \quad (i = 1,2), \quad (32)$$

که در معادله (32) τ_i ضرایب k_{iD}, k_{iP} و k_{iI} به ترتیب ضرایب دیفرانسیلی، تناوبی و انتگرالی کنترل می‌باشند. err_i بیان کننده خطای

¹ critically damping

² over damping

³ Revised position

ضرایب سختی و دمپر معادله (4) می‌باشد که مقادیر آن‌ها در جدول [5] آورده شده‌اند. طریقه‌ی مجامبه‌ی این پارامترها در [22] و [34] آورده شده و به صورت زیر می‌باشد.

$$K_{\text{contact}} = \frac{4}{3(\sigma_i + \sigma_o)} \sqrt{\frac{R_i R_o}{R_i + R_o}} \quad (i = 1, 2), \quad (34)$$

که در معادله (34) R_i و R_o به ترتیب شعاع انگشت و شیء و پارامتر σ_l ($l = i, o$) مربوط به جنس مواد می‌باشد که به صورت زیر قابل تعریف است.

$$\sigma_l = \frac{1 - v_l^2}{E_l} \quad (i = 1, 2), \quad (35)$$

که در معادله (35) v_l و E_l به ترتیب ضرایب پوآسون و مدول الاستیسیته می‌باشدند. محاسبه‌ی B_{contact} به صورت $B_{\text{contact}} < 0.01 K_{\text{contact}}$ باید در نظر گرفته شود. براساس مقادیر موجود در جداول، شبیه‌سازی انجام شده و نتایج حاصل از آن در نمودارهای زیر ارائه شده است.

"شکل 10" بیان کننده سرعت نسبی نوک انگشت نسبت به توب می‌باشد. همان‌طور که در گراف "شکل 10" نیز مشخص است مقدار اولیه سرعت نسبی برابر با 58- میلی‌متر بر ثانیه می‌باشد. در ابتدا و قبل از این که گیرش اتفاق بیفتد شیء الاستیک در حالت سکون قرار دارد. در نتیجه مقدار نسبی سرعت صرفاً مخصوص به نوک انگشتان خواهد بود. همچنین در این گراف تا قبیل از گیرش شبیه نمودار به طور صعودی است و مقدار سرعت به سمت صفر می‌رود و این موضوع به جهت این است که فاصله‌ی مرکز نیمکره‌ای نوک انگشت و مرکز توب در حال کم شدن می‌باشد و چون سرعت مشتق از جایه‌جایی است در نتیجه این مقدار به تدریج کم شده تا این که تماس بین نوک انگشت و توب رخ دهد. پارامترهای کنترل به گونه‌ای تنظیم شده‌اند که در لحظه‌ی برخورد دو جسم سرعت نسبی بسیار کم و نزدیک به صفر باشد. درست هنگامی که دو جسم با هم بر خورد کردند به دلیل ماهیت غیر خطی توب همگن الاستیک و نوک نرم انگشتان یک اختشاشی در سیستم رخ می‌دهد. در واقع پس از این برخورد بین این دو جسم که در زمان 1.45 ثانیه رخ داده است اگر کنترلر نتوانند این اختشاشات را دمپ کند آن‌ها رشد کرده و در نهایت موجب ایجاد لغزش بین انگشت و شیء شده و توب گیرش شده از انگشتان جدا می‌گردد. در نتیجه کنترلر باید بتواند پایداری گیرش را در هنگام برخورد اولیه تضمین کرده و اختشاشات حاصله را دمپ نماید. در برخورد اولیه نیروی اعمال شده به حدی نیست که باعث تغییر شکل الاستیک دو جسم شود اما فرآیند گیرش اتفاق افتاده است. هر چه مقدار نفوذ پس از این مرحله افزایش باید نیروی تماسی اعمال شده بر اجسام نیز افزایش می‌باید تا این که سر انجام مرحله‌ی دوم اختشاشات روی می‌دهد. در واقع توب و نوک انگشتان در مقابل تغییر شکل مقاومت اولیه‌ای از خود نشان می‌دهند و تا وقتی نیروی اعمال شده به آن‌ها به حد مطلوبی نرسد تغییر شکل رخ نخواهد داد. در مرحله‌ی دوم، توب الاستیک و نوک انگشتان نرم دیگر نمی‌توانند در مقابل نیروی اعمال شده مقاومت نمایند و با توجه به سختی ذاتیشان تسلیم شده و چهار تغییر شکل الاستیک در زمان 3.6 ثانیه می‌شوند. در اینجا نیز کنترلر به خوبی توانسته است اختشاشات حاصله را از بین برده و سرعت نسبی بین دو جسم را نزدیک به صفر نگه دارد. در واقع هنگامی که جسم توسط انگشتان گرفته شد پارامترهای کنترلر به نحوی تنظیم شده‌اند که فرآیند تا حد امکان شبه استاتیک باشد.

بر متر برای شبیه‌سازی سختی مقاصل استفاده شده است. پارامترهای فیزیکی، مقادیر اولیه و پارامترهای کنترلی شبیه‌سازی در جداول [5-3] آورده شده‌اند.

جدول 2 پارامترهای مشبندی انگشت

پارامترهای فیزیکی	مقادیر ثابت	واحد
نوع اجزاء	پوسته	-
شکل اجزاء	مثلثی	-
رسه اجزاء	درجه دوم	-
شکل لبه‌ها	مخلوط	-
سایز اجزاء	2	mm
حداقل سایز اجزاء	0.6	mm
نرخ رشد	1.2	-
ضخامت پوسته	2	mm
زاویه هر جزء	45	degree
چگالی جسم	1.127	gr/cm ²
ضریب پوآسون	0.49	-
مدول الاستیسیته	1	MPa

جدول 3 پارامترهای فیزیکی انگشتان رباتیکی و شیء

پارامترهای فیزیکی	مقادیر ثابت	واحد
$L_{11}=L_{21}$	25.91	mm
$L_{12}=L_{22}$	38.89	mm
$L_{13}=L_{23}$	32.54	mm
$m_{11}=m_{21}$	9.83	gr
$m_{12}=m_{22}$	16.41	gr
$m_{13}=m_{23}$	11.2	gr
$r_1=r_2=r$	7.6	mm
$I_{11}=I_{21}$	335.3	gr.mm ²
$I_{12}=I_{22}$	874.0	gr.mm ²
$I_{13}=I_{23}$	6528.0	gr.mm ²
R	30	mm
$k_{13}.k_{12}.k_{11}$	100	N/m
$K_{23}.k_{22}.k_{21}$	100	N/m
M_{ball}	135.71	gr

جدول 4 مقادیر اولیه

پارامترهای فیزیکی	مقادیر ثابت	واحد
q_{11}	25.91	degree
q_{12}	38.89	degree
q_{13}	32.54	degree
q_{21}	9.83	degree
q_{22}	16.41	degree
q_{23}	11.2	degree
θ	7.6	degree
x	335.3	mm
y	135.71	mm

جدول 5 پارامترهای کنترلی، نیروی تماسی و مقدار جایه‌جایی مطلوب

پارامترهای فیزیکی	مقادیر ثابت	واحد
M_d	2	-
B_d	1000	-
K_d	2000	-
p	0.97	-
I	0.000002	-
d	0.0000001	-
F_d	2.5	N
X_d	36.8	mm
K_{contact}	500	N/m
B_{contact}	4	N*s/m

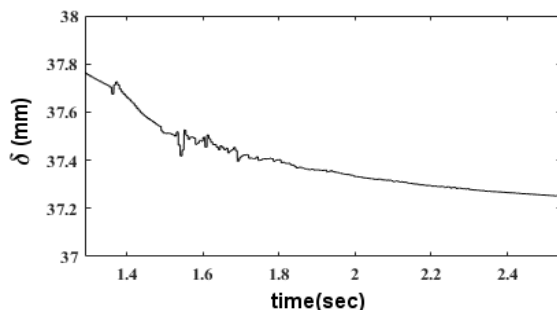


Fig. 14 Penetrate

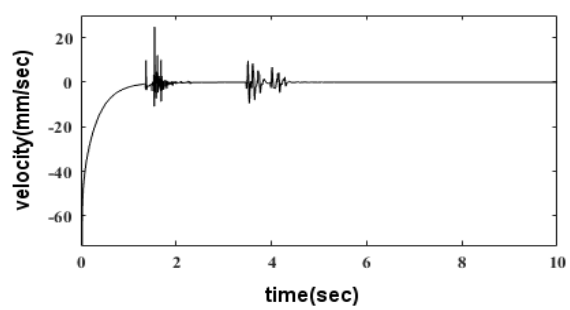


Fig. 10 Penetrate Velocity

شکل 10 سرعت نفوذ

$$F_N = \begin{cases} 0 & h < 37.6 \\ 500\delta^{0.66} + 48\delta & h \geq 37.6 \end{cases}, \quad (36)$$

که در معادله (36) h فاصله‌ی مراکز نوک نیم‌کره‌ای انگشت و توپ، δ مقدار نفوذ و $\dot{\delta}$ نرخ نفوذ می‌باشند. عدد 37.6 در این معادله مجموع شاع توپ و نوک نیم‌کره‌ای انگشت می‌باشد. در واقع در هر بار فیدیک‌گیری سیستم چک می‌کند که آیا h به مقدار 37.6 رسیده است و با توجه به آن نیروی عمودی را مطابق با فرمول (36) محاسبه می‌کند. در "شکل 11" که نشان‌دهنده‌ی نیروی عمودی تماسی بین انگشت نرم و توپ الاستیک می‌باشد الگوریتم بیان شده در معادله (36) کاملاً مشهود است. تا قبل از این که برخورد در زمان 1.45 ثانیه رخ بدهد فاصله‌ی مراکز توپ و نوک نرم انگشت کمتر از 37.6 است در نتیجه نیروی عمودی صفر می‌باشد. پس از برخورد نیروی عمودی افزایش یافته اما همچنان اجسام در مقابل تغییر شکل مقاومت می‌کنند تا این که در زمان 3.6 ثانیه تغییر شکل شروع می‌شود. در زمان شروع تغییر شکل کنترل نوسانات را کنترل کرده و به دلیل ماهیت غیرخطی نیروهای عمودی و انتخاب ضرایب کنترل نمودار با شبیه‌سیار کم به سمت مقدار مطلوب می‌رود.

"شکل 12" نمودار موقعیت سر انگشتان را نشان می‌دهد که همان‌طور که در شکل مشخص است انگشتان تا قبل از رسیدن به توپ در کمتر از یک ثانیه به نزدیکی توپ رسیده و پس از آن با شیب ملایم به جسم برخورد و در آن تا عمق مطلوب نفوذ می‌کند. این شکل نمایانگر توانایی کنترل در ردگیری مناسب نوک انگشتان تا قبل از گیرش توپ و تضمین پایداری به جهت انجام فرآیند گیرش به شکل شبه استاتیک است.

باتوجه به پارامترهای انتخاب شده برای معادله امپدانسی بسامد طبیعی سیستم 31.62 رادیان بر ثانیه و نسبت میرایی 7.9 خواهد شد. در نتیجه سیستم امپدانسی در وضعیت فوق میرایی قرار گرفته است. در "شکل 13" خروجی سیستم امپدانسی نشان داده شده است. همان‌طور که در این

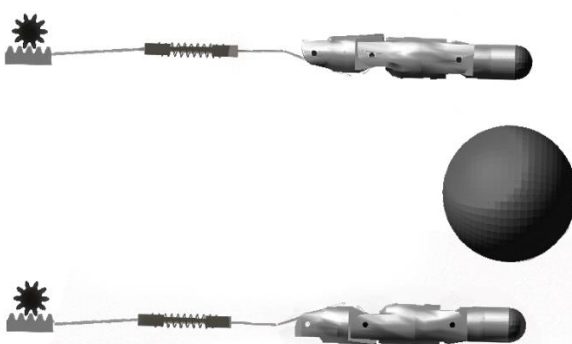


Fig. 15 System in initial condition

شکل 15 سیستم در وضعیت اولیه

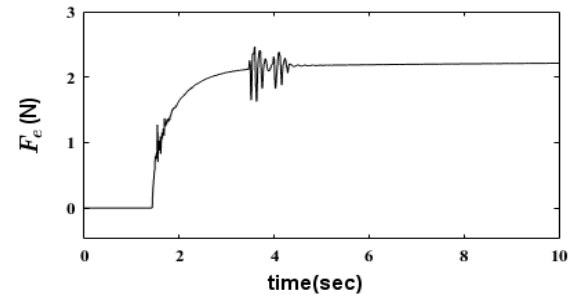


Fig. 11 Contact Force

شکل 11 نیروی تماسی

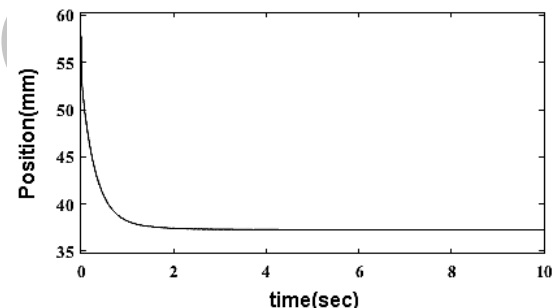


Fig. 12 The position of First Fingertip

شکل 12 موقعیت نوک انگشت اول

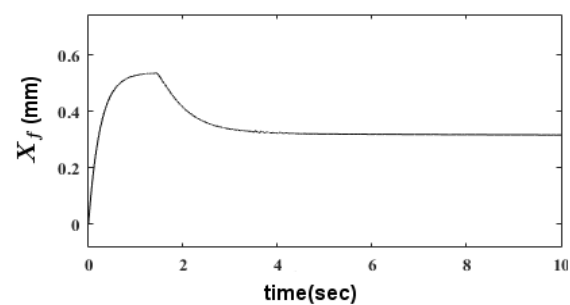


Fig. 13 Output of Impedance Control

شکل 13 خروجی امپدانس کنترل

در بخش سینماتیک در معادله (4) نحوه‌ی محاسبه‌ی غیرمستقیم نیرو عمودی در هنگام گیرش با فیدیک گرفتن از مقدار نفوذ و سرعت نسبی نفوذ دو جسم در یکدیگر بیان شد. همچنین، در معادله (3) راه حلی برای تشخیص برخورد انگشت و توپ الاستیک ارائه داده شد. الگوریتم کلی برای محاسبه‌ی نیرو عمودی با استفاده از معادله‌های (3) و (4) به صورت زیر تعریف می‌شود:

دارای یک لایه‌ی نازکی از بافت چربی بر روی استخوان است یک پوسته‌ای نازک به ضخامت 2 میلی‌متر را مش‌زده‌ایم. همچنین، آخرین عامل مربوط به آن است که در این مقاله برای جلوگیری از حل‌های عددی پیچیده در شبیه‌سازی آنلاین فقط نوک انگشتان را نرم در نظر گرفتیم. در نتیجه در اطراف مکانی که بدن‌های صلب به انعطاف‌پذیر متصل می‌شود تغییر شکل کمتری داریم.

6- نتیجه گیری

در این مقاله مسئله‌ی گیرش یک توب الاستیک همگن با یک جفت انگشتان موازی نرم مورد بررسی قرار گرفته است. نواوری این مقاله این موضوع می‌باشد که برای اولین بار برخلاف کارهای قبلی که در آن‌ها تماس بین اجسام صلب-صلب یا صلب-نرم در نظر گرفته شده است. همچنین، بر خلاف اکثر کارها که جهت سهوالت در رسیدن به پایداری از اجسام تخت استفاده کرده‌اند، در این مقاله از یک توب همگن الاستیک بهدلیل داشتن انحنای در هندسه‌اش استفاده شده است. در این راستا این مقاله علاوه بر بررسی مدل دینامیکی و سینماتیکی انگشتان نرم و توب الاستیک، نیروهای موجود بین اجسام نرم را نیز بررسی می‌کند. در مرحله‌ی بعد مدلی از این سیستم در نرمافزار آدامز شبیه‌سازی می‌شود. در گام بعد برای کنترل این سیستم شبیه‌سازی شده نرمافزار آدامز با نرمافزار سیمیلینک مطلب لینک می‌شود. به جهت ماهیت غیرخطی اجسام نرم در حال تعامل، کنترل گشتوار و یا نیرو تبدالی به طور مستقیم کاری بسیار دشوار می‌باشد. از این رو برای کنترل این رو سیستم غیرخطی باید از روش‌های کنترل نیرو مجازی استفاده شود. از این رو یک سیستم ترکیبی کنترل نیرو و موقعیت بر روی سیستم انگشتان و توب پیاده‌سازی شد. نتایج حاصل از این پیاده‌سازی در زیر لیست شده است.

- سیستم امپدانسی که مانند یک فیلتر پایین گذر رسته‌ی دو عمل می‌کند قادر به حذف نویزهای تصادفی نیروی گیرشی وارد از سوی انگشتان به شیء می‌باشد بدون این که تاثیر بر روی کنترل موقعیت به کار رفته در حلقه داخلی سیستم کنترلی بگذارد.
- فیلتر امپدانسی قادر است نسبت به تغییرات به وجود آمده در موقعیت مرجع خود را تنظیم کرده و با توجه به انحراف از مقدار مطلوب نیرو موقعیت موردنیاز اصلاحی را جبران کند.
- این سیستم کنترلی ترکیبی با توجه به این که از هیچ نیرویی اطلاعاتی را دریافت نمی‌کند قادر به ایجاد گیرشی دقیق به سیستمی انگشتان می‌باشد و از این جهت یک سیستم کنترلی مقاوم و تطبیقی در میان روش‌های کنترلی امپدانس به شمار می‌آید.
- نتایج حاصل از پیاده‌سازی عملی این کنترل ترکیبی نشان از ردگیری سریع تا قبل از گیرش توب و کنترل همزمان نیرو و موقعیت بعد از گیرش دارد.

این نتایج نشان‌دهنده‌ی کنترل موفق سیستم شبیه‌سازی شده است و صحت و درستی مسئله‌ی مورد تحقیق را به اثبات می‌رساند.

7- مراجع

- [1] J. K. Salisbury, B. Roth, Kinematic and Force Analysis of Articulated Mechanical Hands, *Journal of Mechanisms, Transmissions, and Automation in Design*, Vol. 105, No. 1, pp. 35-41, 1983.
- [2] A. B. Cole, J. E. Hauser, S. S. Sastry, Kinematics and control of multifingered hands with rolling contact, *IEEE Transactions on Automatic Control*, Vol. 34, No. 4, pp. 398-404, 1989.

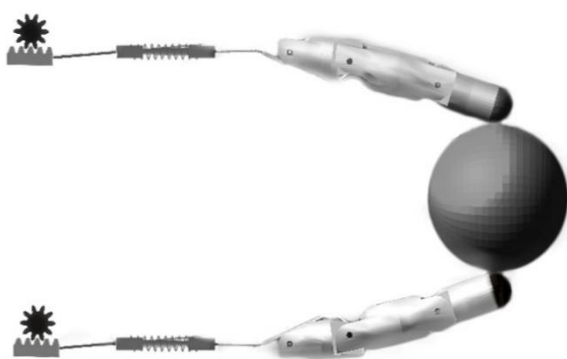


Fig. 16 Ocurred grasping

شکل ۱۶ رخدادن گیرش

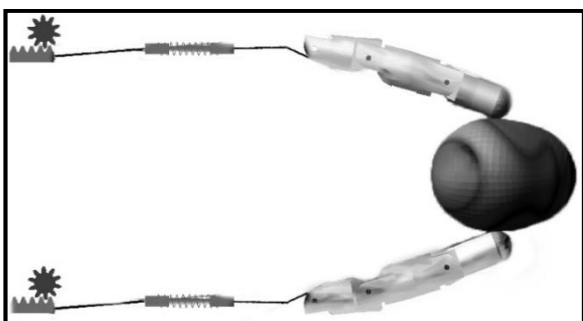


Fig. 17 Ocurred elastic deformation

شکل ۱۷ رخدادن تغییر شکل الاستیک

شکل مشهود است گراف خروجی این سیستم تا قبل از رسیدن به لحظه‌ی برخورد و گرفتن فیدبک نیروی تماسی با شبیه تند افزایش یافته تا بتواند به مسئله‌ی ردگیری کمک کند. پس از برخورد و رخدادن گیرش از مقدار ورودی اولیه‌ی سیستم امپدانسی که همان مقدار نیروی مطلوب 3 نیوتن بود کاسته شده و این به خودی خود نتیجه‌های برآورده شدن پاسخ زمانی این سیستم و در نهایت میل کردن این پاسخ به صفر دارد.

"شکل 14" نشان‌دهنده‌ی برخورد اولیه‌ی دو جسم در زمان 1.45 ثانیه است و همان طور که مشخص است پس از برخورد اولیه کنترلر توانسته اغتشاشات حاصل از اثرات نیروی ضربه‌ای اولیه‌ی انگشت بر روی شیء را به خوبی دمپ و مقدار نفوذ را با شبیه ملایم به سمت مقدار مطلوب سوق دهد.

"شکل 15" نشان‌دهنده‌ی وضعیت اولیه‌ی انگشتان و شیء شبیه‌سازی شده در نرمافزار آدامز می‌باشد. در زمانی کمتر از 1.5 ثانیه همان گونه که در نمودار "شکل 12" مشخص است انگشتان با ردگیری مناسب به توب رسیده و گیرش روی می‌دهد. این موضوع در "شکل 16" نشان داده شده است. پس از رخدادن گیرش نیروی اعمالی از سوی انگشتان به شیء در یک فرآیند شبیه استاتیک به تدریج افزایش یافته تا این که جسم تسليم شده و تغییر شکل در اجسام همانند "شکل 17" اتفاق می‌افتد. نکته‌ای که باید در "شکل 17" به آن توجه شود آن است که با این که هم انگشت و هم شیء تغییر شکل داشتند ولی همان گونه که در شکل مشهود است تغییر شکل توب بسیار بیشتر از تغییر شکل انگشت می‌باشد. دلیل این موضوع را می‌توان سه عامل دانست. عامل اول که مهمترین عامل می‌باشد مربوط به انتخاب جنس مواد نرم در حال تعامل می‌باشد. همان‌طور که در جدول 1 و 2 مقدارهای مربوط به جنس شیء و انگشت آمده توب انتخاب شده بسیار نرم‌تر از نوک رنم انگشت است پس به طور طبیعی توب چهار تغییر شکل بیشتری می‌شود. دلیل دوم برای این اتفاق اینست که ما در شبیه سازیمان به تقلید از انگشت انسان که

- robotic soft-fingertips, *Proceedings of the International Conference on Robots and Systems*, Hamburg, Germany, pp. 6231-6237, 2015.
- [19] L. Zaidi, B. C. Bouzgarrou, L. Sabourin, Y. Mezouar, Interaction modeling in the grasping and manipulation of 3D deformable objects, *Proceeding of the International Conference on Advanced Robotics*, Istanbul, Turkey, pp. 504-509, 2015.
- [20] R. M. Murray, Z. Li, S. S. Sastry, S. S. Sastry, *A Mathematical Introduction to Robotic Manipulation*, CRC press, pp. 211-264, 1994.
- [21] B. Siciliano, O. Khatib, *Springer Handbook of Robotics*, pp. 671-700, Springer, 2016.
- [22] P. Flores, M. Machado, M. T. Silva, J. M. Martins, On the continuous contact force models for soft materials in multibody dynamics, *Multibody System Dynamics*, Vol. 25, No. 3, pp. 357-375, 2011.
- [23] K. H. Hunt, F. R. E. Crossley, Coefficient of Restitution Interpreted as Damping in Vibroimpact, *Journal of Applied Mechanics*, Vol. 42, No. 2, pp. 440-445, 1975.
- [24] R. García-Rodríguez, V. Segovia-Palacios, V. Parra-Vega, M. Villalva-Lucio, Dynamic optimal grasping of a circular object with gravity using robotic soft-fingertips, *International Journal of Applied Mathematics and Computer Science*, Vol. 26, No. 2, pp. 309-323, 2016.
- [25] A. Marigo, A. Bicchi, Rolling bodies with regular surface: Controllability theory and applications, *IEEE Transactions on Automatic Control*, Vol. 45, No. 9, pp. 1586-1599, 2000.
- [26] A. M. Howard, G. A. Bekey, Recursive learning for deformable object manipulation, *Proceeding of the International Conference on Advanced Robotics*, Monterey, USA, pp. 939-944, 1997.
- [27] T. Senoo, M. Koike, K. Murakami, M. Ishikawa, Impedance control design based on plastic deformation for a robotic arm, *IEEE Robotics And Automation Letters*, Vol. 2, No. 1, pp. 209-216, 2017.
- [28] R. Ozawa, K. Hashirii, Y. Yoshimura, M. Moriya, H. Kobayashi, Design and control of a three-fingered tendon-driven robotic hand with active and passive tendons, *Autonomous Robots*, Vol. 36, No. 1-2, pp. 67-78, 2014.
- [29] A. Winkler, J. Suchý, Implicit force control of a position controlled robot—a comparison with explicit algorithms, *World Academy of Science, Engineering and Technology, International Journal of Computer, Electrical, Automation, Control and Information Engineering*, Vol. 9, No. 6, pp. 1454-1460, 2015.
- [30] X. Kong, H. Zhao, B. W. Li, K. Ba, Analysis of position-based impedance control method and the composition of system dynamic compliance, *Proceeding of the International Conference on Aircraft Utility Systems*, Beijing, China pp. 454-459, 2016.
- [31] Y. Karayannidis, L. Droukas, Z. Doulgeri, Operational space robot control for motion performance and safe interaction under Unintentional Contacts, *Control Conference (Ecc)*, 2016 European, pp. 407-412; IEEE, 2016.
- [32] M. Pelletier, M. Doyon, On the implementation and performance of impedance control on position controlled robots, *Robotics and Automation, Proceedings 1994 IEEE International Conference on*, pp. 1228-1233; IEEE, 1994.
- [33] H. Sadjadian, H. D. Taghirad, Impedance control of the hydraulic shoulder A 3-DOF parallel manipulator, *Robotics and Biomimetics, ROBIO'06, IEEE International Conference on*, pp. 526-531; IEEE, 2006.
- [34] J. Giesbers, *Contact Mechanics in MSC ADAMS*, Bachelor Thesis, University of Tewnte, 2012.
- [3] J. Chen, M. Zribi, Control of multifingered robot hands with rolling and sliding contacts, *The International Journal of Advanced Manufacturing Technology*, Vol. 16, No. 1, pp. 71-77, 2000.
- [4] S. Ahmadi, R. Rastegari, Grasping and control of moving object by dual fingers robot under rolling constraints in horizontal plane, *Modares Mechanical Engineering*, Vol. 16, No. 11, pp. 154-164, 2016. (In Persian فارسی)
- [5] R. Ozawa, S. Arimoto, S. Nakamura, J. H. Bae, Control of an object with parallel surfaces by a pair of finger robots without object sensing, *IEEE Transactions on Robotics*, Vol. 21, No. 5, pp. 965-976, 2005.
- [6] R. Kolbert, N. Chavan-Dafle, A. Rodriguez, Experimental Validation of Contact Dynamicsfor In-Hand Manipulation, arXiv preprint arXiv:1702.07252, 2017.
- [7] R. Ozawa, S. Arimoto, P. T. A. Nguyen, M. Yoshida, J. H. Bae, Manipulation of a circular object in a horizontal plane by two finger robots, *Proceedings of The Robotics and Biomimetics Conference, ROBIO*, pp. 517-522, 2004.
- [8] P. T. A. Nguyen, R. Ozawa, S. Arimoto, Manipulation of a circular object by a pair of multi-DOF robotic fingers, *Proceedings of the International Conference on Intelligent Robots and Systems*, Beijing, China, pp. 5669-5674, 2006.
- [9] S. Arimoto, P. T. A. Nguyen, H. Y. Han, Z. Doulgeri, Dynamics and control of a set of dual fingers with soft tips, *Robotica*, Vol. 18, No. 01, pp. 71-80, 2000.
- [10] Y. Morio, S. Arimoto, J. Bae, Blind grasp and manipulation of a rigid object by a pair of robot fingers with soft tips, *Robotics and Automation, 2007 IEEE International Conference on*, pp. 4707-4714, IEEE, 2007.
- [11] F. Khalil, P. Payeur, Robotic interaction with deformable objects under vision and tactile guidance-a review, *Robotic and Sensors Environments, 2007 ROSE 2007, International Workshop on*, pp. 1-6; IEEE, 2007.
- [12] P. E. Hammer, M. S. Sacks, J. Pedro, R. D. Howe, Mass-spring model for simulation of heart valve tissue mechanical behavior, *Annals of Biomedical Engineering*, Vol. 39, No. 6, pp. 1668-1679, 2011.
- [13] O. Jarrousse, *Modified Mass-Spring System for Physically Based Deformation Modeling*, KIT Scientific Publishing, pp. 876-879, 2014.
- [14] S. Garg, A. Dutta, Grasping and manipulation of deformable objects based on internal force requirements, *International Journal of Advanced Robotic Systems*, Vol. 3, No. 2, pp. 18, 2006.
- [15] L. Han, J. Hipwell, Z. Taylor, C. Tanner, S. Ourselin, D. J. Hawkes, Fast deformation simulation of breasts using GPU-based dynamic explicit finite element method, *International Workshop on Digital Mammography*, pp. 728-735, Springer, 2010.
- [16] J. Huang, Y. Sano, R. Hori, T. Hori, T. Yabuta, Method of grasping control by computing internal and external impedances for two robot fingers, and its application to admittance control of a robot hand-arm system, *International Journal of Advanced Robotic Systems*, Vol. 12, No. 8, pp. 115, 2015.
- [17] M. S. Erden, A. Billard, End-point impedance measurements at human hand during interactive manual welding with robot, *Proceeding of the International Conference on Intelligent Robots and Systems*, Hong Kong, pp. 126-133, 2014.
- [18] R. García-Rodríguez, M. Villalva-Lucio, V. Parra-Vega, Dexterous dynamic optimal grasping of a circular object with pose regulation using redundant